

УДК 533.6.011.3

## МАТЕМАТИЧЕСКОЕ МОДЕЛИРОВАНИЕ ТЕЧЕНИЯ ВЯЗКОГО ГАЗА В ДВУХСВЯЗНОМ ОБЪЕМЕ С ПЕРФОРИРОВАННЫМИ СТЕНКАМИ

А. М. Липанов, А. Н. Семакин

Институт прикладной механики УрО РАН, 426067 Ижевск  
E-mail: arte-semaki@yandex.ru

Предложен численный метод расчета течения вязкого газа в исходной двухсвязной области, представляющий собой объем с отверстиями, в котором расположена сфера. Рассмотрены виды подобластей (конечных объемов), на которые можно разбить исходную область. Для каждого вида конечного объема указана криволинейная система координат. Приведены результаты расчетов течения при  $Re = 100, 500$  и  $M = 0,6$ .

Ключевые слова: двухсвязная область, конечный объем, вязкий газ, система уравнений гидромеханики, криволинейная система координат.

**Введение.** Проблема расчета полей гидромеханических параметров для многосвязных областей имеет место при решении таких практически важных задач, как сушка зерна в гуртах потоком теплого воздуха, фильтрация вязкой жидкости через поры в горных породах, очистка загрязненных или газообразных сред методом фильтрации через слой частиц, находящихся в некотором объеме и т. д. Традиционно такие пространственные задачи решаются путем сведения многосвязной области к односвязной, введения коэффициента пористости, скорости фильтрации и т. д. [1]. В работе [2] предложен альтернативный подход, позволяющий рассчитывать поля гидромеханических параметров непосредственно для многосвязной области без дополнительных предположений и допущений. Настоящая работа посвящена реализации данного подхода применительно к двухсвязным областям.

**1. Постановка задачи.** Рассмотрим объем  $Q$  с отверстиями, имеющий форму прямоугольного параллелепипеда с одним входом и двумя выходами. Вход расположен в центре передней грани, выходы — на вертикальной оси симметрии задней грани. Вход и оба выхода имеют форму круга. В данном объеме расположен шар, который может касаться каких-либо его стенок. На рис. 1 приведен пример рассматриваемой области, когда шар расположен в центре объема  $Q$ . Через входное отверстие поступает вязкий газ. Необходимо рассчитать параметры газа при прохождении им данного объема.

**2. Конечные объемы.** Введем глобальную декартову систему координат  $(X, Y, Z)$ , в которой рассматривается вся исходная область, и разделим эту область на  $N_{fv}$  подобластей, или конечных объемов (КО). Формы всех КО можно свести к пяти стандартным видам: прямоугольный, сферический, пирамидальный, кольцевой и цилиндрический (рис. 2). Прямоугольный КО представляет собой прямоугольный параллелепипед. Сферический КО используется для выделения пространства в окрестности сферы вдали от боковых стенок объема  $Q$ . Одной из шести граней сферического объема является поверхность сферы. Пирамидальный КО имеет клинообразную форму и выделяет пространство вблизи точки касания сферы с одной из боковых сторон объема  $Q$ . У кольцевого КО одна грань является частью цилиндрической поверхности. Цилиндрический КО представляет собой цилиндр, используемый для описания входа и выходов.

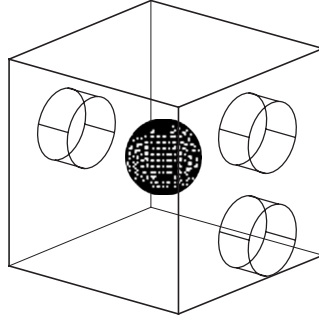


Рис. 1. Пример расчетной области

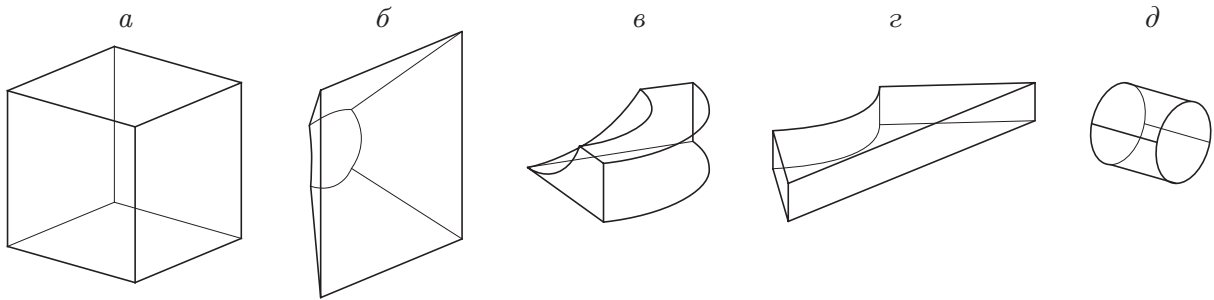


Рис. 2. Виды конечных объемов:

*a* — прямоугольный, *б* — сферический, *в* — пирамидальный, *г* — кольцевой, *д* — цилиндрический

В каждом КО введем локальную декартову систему координат  $(x, y, z)$ , которая определяется заданием начала координат  $O(a_0^1, a_0^2, a_0^3)$  и базисных векторов  $\mathbf{i} = (a_1^1, a_1^2, a_1^3)$ ,  $\mathbf{j} = (a_2^1, a_2^2, a_2^3)$ ,  $\mathbf{k} = (a_3^1, a_3^2, a_3^3)$  в глобальной системе координат  $(X, Y, Z)$ . Тогда локальные  $(x, y, z)$  и глобальные  $(X, Y, Z)$  координаты точки связаны соотношениями [3]

$$\begin{aligned} (x, y, z) \rightarrow (X, Y, Z): \quad \mathbf{R} &= \mathbf{a}_0 + \mathbf{a}_1x + \mathbf{a}_2y + \mathbf{a}_3z, \\ (X, Y, Z) \rightarrow (x, y, z): \quad \mathbf{r} &= \mathbf{a}^1X + \mathbf{a}^2Y + \mathbf{a}^3Z - \mathbf{b}, \end{aligned}$$

где

$$\begin{aligned} \mathbf{R} &= (X, Y, Z), \quad \mathbf{r} = (x, y, z), \quad \mathbf{a}_0 = (a_0^1, a_0^2, a_0^3), \\ \mathbf{a}_1 &= (a_1^1, a_1^2, a_1^3), \quad \mathbf{a}_2 = (a_2^1, a_2^2, a_2^3), \quad \mathbf{a}_3 = (a_3^1, a_3^2, a_3^3), \\ \mathbf{a}^1 &= (a_1^1, a_2^1, a_3^1), \quad \mathbf{a}^2 = (a_1^2, a_2^2, a_3^2), \quad \mathbf{a}^3 = (a_1^3, a_2^3, a_3^3), \\ \mathbf{b} &= (\mathbf{a}_1 \cdot \mathbf{a}_0, \mathbf{a}_2 \cdot \mathbf{a}_0, \mathbf{a}_3 \cdot \mathbf{a}_0). \end{aligned}$$

Во всех видах КО, кроме прямоугольного, необходимо также ввести криволинейную систему координат  $(\xi, \eta, \zeta)$ , в которой данный КО можно представить в виде параллелепипеда. Согласно [4–6] определим формулы перехода к криволинейным координатам:

— для сферического КО

$$\xi = \sqrt{x^2 + y^2 + z^2}, \quad \eta = -y/x, \quad \zeta = -z/x, \tag{1}$$

где  $-1 \leq \eta \leq 1$ ;  $-1 \leq \zeta \leq 1$ ;

— для пирамидального КО

$$\xi = (x^2 + y^2 + z^2)/\sqrt{x^2 + z^2}, \quad \eta = 2y/(x^2 + y^2 + z^2), \quad \zeta = -z/x, \tag{2}$$

где  $0 \leq \eta \leq 1/r$ ;  $-1 \leq \zeta \leq 1$ ;  $r$  — радиус сферы;

— для кольцевого КО

$$\xi = \sqrt{x^2 + z^2}, \quad \eta = y, \quad \zeta = -z/x, \quad (3)$$

где  $-1 \leq \zeta \leq 1$ ;

— для цилиндрического КО

$$\xi = x, \quad \eta = \sqrt{y^2 + z^2}, \quad \zeta = \arctg(z/y) + \pi k, \quad (4)$$

где  $-\pi \leq \zeta \leq \pi$ .

При построении разностных сеток производилось их сжатие (измельчение) к поверхности сферы, а также к передней и задней граням объема  $Q$ .

**3. Система уравнений гидромеханики.** Для каждого КО в его локальной декартовой системе координат запишем систему уравнений гидромеханики в безразмерной форме [7, 8]

$$\begin{aligned} \frac{\partial \rho}{\partial t} + \frac{1}{2} \left( u \frac{\partial \rho}{\partial x} + v \frac{\partial \rho}{\partial y} + w \frac{\partial \rho}{\partial z} + \frac{\partial \rho u}{\partial x} + \frac{\partial \rho v}{\partial y} + \frac{\partial \rho w}{\partial z} \right) + \frac{1}{2} \rho \operatorname{div}(\mathbf{V}) &= 0, \\ \frac{\partial u}{\partial t} + \frac{1}{2} \left( u \frac{\partial u}{\partial x} + v \frac{\partial u}{\partial y} + w \frac{\partial u}{\partial z} + \frac{\partial u^2}{\partial x} + \frac{\partial uv}{\partial y} + \frac{\partial uw}{\partial z} \right) - \frac{1}{\rho \operatorname{Re}} \left( \frac{\partial^2 u}{\partial x^2} + \frac{\partial^2 u}{\partial y^2} + \frac{\partial^2 u}{\partial z^2} \right) &= \\ &= -\frac{1}{\rho k M^2} \frac{\partial p}{\partial x} + \frac{1}{2} u \operatorname{div}(\mathbf{V}) + \frac{1}{3\rho \operatorname{Re}} \frac{\partial}{\partial x} \operatorname{div}(\mathbf{V}), \\ \frac{\partial v}{\partial t} + \frac{1}{2} \left( u \frac{\partial v}{\partial x} + v \frac{\partial v}{\partial y} + w \frac{\partial v}{\partial z} + \frac{\partial uv}{\partial x} + \frac{\partial v^2}{\partial y} + \frac{\partial vw}{\partial z} \right) - \frac{1}{\rho \operatorname{Re}} \left( \frac{\partial^2 v}{\partial x^2} + \frac{\partial^2 v}{\partial y^2} + \frac{\partial^2 v}{\partial z^2} \right) &= \\ &= -\frac{1}{\rho k M^2} \frac{\partial p}{\partial y} + \frac{1}{2} v \operatorname{div}(\mathbf{V}) + \frac{1}{3\rho \operatorname{Re}} \frac{\partial}{\partial y} \operatorname{div}(\mathbf{V}), \quad (5) \\ \frac{\partial w}{\partial t} + \frac{1}{2} \left( u \frac{\partial w}{\partial x} + v \frac{\partial w}{\partial y} + w \frac{\partial w}{\partial z} + \frac{\partial uw}{\partial x} + \frac{\partial vw}{\partial y} + \frac{\partial w^2}{\partial z} \right) - \frac{1}{\rho \operatorname{Re}} \left( \frac{\partial^2 w}{\partial x^2} + \frac{\partial^2 w}{\partial y^2} + \frac{\partial^2 w}{\partial z^2} \right) &= \\ &= -\frac{1}{\rho k M^2} \frac{\partial p}{\partial z} + \frac{1}{2} w \operatorname{div}(\mathbf{V}) + \frac{1}{3\rho \operatorname{Re}} \frac{\partial}{\partial z} \operatorname{div}(\mathbf{V}), \\ \frac{\partial T}{\partial t} + \frac{1}{2} \left( u \frac{\partial T}{\partial x} + v \frac{\partial T}{\partial y} + w \frac{\partial T}{\partial z} + \frac{\partial uT}{\partial x} + \frac{\partial vT}{\partial y} + \frac{\partial wT}{\partial z} \right) - \frac{k}{\rho \operatorname{Re} \operatorname{Pr}} \left( \frac{\partial^2 T}{\partial x^2} + \frac{\partial^2 T}{\partial y^2} + \frac{\partial^2 T}{\partial z^2} \right) &= \\ &= -\frac{k-1}{\rho} p \operatorname{div}(\mathbf{V}) + \frac{1}{2} T \operatorname{div}(\mathbf{V}) + \frac{k(k-1)M^2}{\rho \operatorname{Re}} \left[ 2 \left( \frac{\partial u}{\partial x} \right)^2 + 2 \left( \frac{\partial v}{\partial y} \right)^2 + 2 \left( \frac{\partial w}{\partial z} \right)^2 + \right. \\ &\quad \left. + \left( \frac{\partial u}{\partial y} + \frac{\partial v}{\partial x} \right)^2 + \left( \frac{\partial u}{\partial z} + \frac{\partial w}{\partial x} \right)^2 + \left( \frac{\partial v}{\partial z} + \frac{\partial w}{\partial y} \right)^2 - \frac{2}{3} (\operatorname{div}(\mathbf{V}))^2 \right]. \end{aligned}$$

Здесь  $\mathbf{V} = (u, v, w)$  — вектор скорости;  $p, \rho, T$  — давление, плотность и температура;  $\operatorname{Re}$  — число Рейнольдса;  $\operatorname{Pr} = 1$  — число Прандтля;  $M$  — число Маха;  $k = 1,4$  — отношение изобарной  $C_p$  и изохорной  $C_v$  теплоемкостей;  $\operatorname{div}(\mathbf{V}) = \partial u/\partial x + \partial v/\partial y + \partial w/\partial z$  — дивергенция скорости.

Система уравнений (5) замыкается безразмерным уравнением состояния

$$p = \rho T. \quad (6)$$

Способ обезразмеривания уравнений (5), (6) приведен в работе [9].

Для перехода к криволинейной системе координат в исходных уравнениях необходимо выполнить замену переменных. Например, первую производную по  $x$  заменим выражением

$$\frac{\partial W}{\partial x} = \frac{\partial W}{\partial \xi} \xi_x + \frac{\partial W}{\partial \eta} \eta_x + \frac{\partial W}{\partial \zeta} \zeta_x.$$

Аналогичные выражения можно записать для производных по  $y$  и  $z$ . Сумма вторых производных заменяется следующим образом:

$$\begin{aligned} \frac{\partial^2 W}{\partial x^2} + \frac{\partial^2 W}{\partial y^2} + \frac{\partial^2 W}{\partial z^2} &= \frac{\partial^2 W}{\partial \xi^2} \nabla \xi \nabla \xi + \frac{\partial^2 W}{\partial \eta^2} \nabla \eta \nabla \eta + \frac{\partial^2 W}{\partial \zeta^2} \nabla \zeta \nabla \zeta + \\ &+ 2 \frac{\partial^2 W}{\partial \xi \partial \eta} \nabla \xi \nabla \eta + 2 \frac{\partial^2 W}{\partial \xi \partial \zeta} \nabla \xi \nabla \zeta + 2 \frac{\partial^2 W}{\partial \eta \partial \zeta} \nabla \eta \nabla \zeta + \\ &+ \frac{\partial W}{\partial \xi} (\xi_{xx} + \xi_{yy} + \xi_{zz}) + \frac{\partial W}{\partial \eta} (\eta_{xx} + \eta_{yy} + \eta_{zz}) + \frac{\partial W}{\partial \zeta} (\zeta_{xx} + \zeta_{yy} + \zeta_{zz}). \end{aligned} \quad (7)$$

Здесь  $\nabla \xi = (\xi_x, \xi_y, \xi_z)$ ;  $\nabla \eta = (\eta_x, \eta_y, \eta_z)$ ;  $\nabla \zeta = (\zeta_x, \zeta_y, \zeta_z)$ ;  $\nabla \xi \nabla \eta$ ,  $\nabla \xi \nabla \zeta$ ,  $\nabla \eta \nabla \zeta$  — скалярные произведения векторов.

Подставляя выражения (7) в исходные уравнения, можно получить систему уравнений гидромеханики в криволинейных координатах. Значения производных  $\xi_x$ ,  $\eta_x$ ,  $\zeta_x$  и т. д. вычисляются аналитически на основе преобразований координат (1)–(4) для различных видов КО.

**4. Начальные и граничные условия.** Для решения уравнений гидромеханики необходимо задать начальные и граничные условия. В качестве начальных условий берутся следующие значения:  $u = v = w = 0$ ,  $p = \rho = T = 1$ . Условия на границах многосвязной области ставятся согласно работам [2, 10]. В случае если какие-либо грани КО выходят на границу многосвязной области, для этих граней задается одно из указанных в [2, 10] граничных условий.

При вычислении частных производных по пространственным направлениям в узлах разностной сетки используется метод неопределенных коэффициентов, позволяющий рассчитывать эти производные с любым порядком точности. Согласно этому методу для определения производной в данной точке необходимо знать значения искомой функции в нескольких соседних узлах. Поэтому при расчете производных в точках, расположенных вблизи границы КО, необходимо “заходить” в соседние КО. Как правило, разностные сетки в двух смежных КО не согласованы, т. е. при “заходе” в соседний КО рассматриваемые точки могут не совпадать с расчетными точками разностной сетки этого КО. Поэтому для определения значения величин в нужных точках необходимо провести интерполяцию по известным значениям этих величин в расчетных точках соседнего КО.

**5. Интерполяция.** Неизвестное значение величины  $f$  в точке  $\mathbf{x}^0 = (x^0, y^0, z^0)$  определяется через известные значения этой величины в точках  $\mathbf{x}^k = (x^k, y^k, z^k)$  ( $k = 1, N$ ) с помощью отрезка ряда Фурье, построенного с использованием системы ортогональных многочленов [11]:

$$f(\mathbf{x}^0) = \sum_{i+j+k=0}^n c_{ijk} \psi_{ijk}(\mathbf{x}^0), \quad c_{ijk} = (\psi_{ijk}(\mathbf{x}), f(\mathbf{x})).$$

Систему ортогональных многочленов  $\psi_{ijk}(\mathbf{x})$  можно получить последовательно по формулам

$$\psi_{ijk}(\mathbf{x}) = \varphi_{ijk}(\mathbf{x}) / \|\varphi_{ijk}(\mathbf{x})\|,$$

$$\varphi_{000} = 1, \quad \varphi_{ijk}(\mathbf{x}) = x\psi_{i-1jk}(\mathbf{x}) + y\psi_{ij-1k}(\mathbf{x}) + z\psi_{ijk-1}(\mathbf{x}) + \sum_M \alpha_{mnl}\psi_{mnl}(\mathbf{x}),$$

$$\alpha_{mnl} = -(x\psi_{i-1jk}(\mathbf{x}) + y\psi_{ij-1k}(\mathbf{x}) + z\psi_{ijk-1}(\mathbf{x}), \psi_{mnl}(\mathbf{x})),$$

где  $M$  — множество созданных многочленов.

Скалярное произведение и норма в пространстве многочленов определяются следующим образом:

$$(f(\mathbf{x}), g(\mathbf{x})) = \sum_{k=1}^N f(\mathbf{x}^k)g(\mathbf{x}^k), \quad \|f(\mathbf{x})\| = \sqrt{(f(\mathbf{x}), f(\mathbf{x}))}.$$

При проведении вычислений полагалось  $n = 2$ ,  $N = 10$ , что эквивалентно интерполяции полиномом второй степени. Точки  $\mathbf{x}^k$  выбирались таким образом, чтобы выполнялось условие  $\|\varphi_{ijk}(\mathbf{x})\| \geq 10^{-4}$  для всех  $\varphi_{ijk}(\mathbf{x})$ .

**6. Численный метод решения уравнений гидромеханики.** При интегрировании системы уравнений гидромеханики по времени использовался метод Рунге — Кутты второго порядка точности [11], при вычислении частных производных по пространственным переменным — центральная разностная схема произвольного порядка точности [9]. Для устранения нефизических осцилляций в разностную схему добавлялась искусственная диссипация [12].

После выполнения очередного шага по времени возникает необходимость передачи значений гидромеханических параметров (скорости, плотности и температуры) из одного КО в другой. Поскольку плотность и температура являются скалярными величинами, их значения не зависят от ориентации локальных систем координат различных КО. Однако при переходе из одной системы координат в другую компоненты вектора скорости меняются, поэтому при передаче значений компонент вектора скорости из одного КО в другой они сначала переводятся в глобальную систему координат по формулам [3]

$$U = a_1^1 u + a_2^1 v + a_3^1 w, \quad V = a_1^2 u + a_2^2 v + a_3^2 w, \quad W = a_1^3 u + a_2^3 v + a_3^3 w,$$

а затем из глобальной системы координат в локальную, но другого КО:

$$u = a_1^1 U + a_2^1 V + a_3^1 W, \quad v = a_1^2 U + a_2^2 V + a_3^2 W, \quad w = a_1^3 U + a_2^3 V + a_3^3 W.$$

Коэффициенты перехода  $a_i^j$  определены выше.

**7. Результаты расчетов.** В качестве тестовой задачи рассматривалась задача обтекания сферы. Расчетная область представляет собой шар радиусом 7,8, в который помещена сфера радиусом 0,5. Данная расчетная область делится на шесть сферических КО. В качестве критерия правильности расчетов использовался коэффициент сопротивления сферы  $C_x$ . При выбранном числе Маха набегающего потока  $M = 0,1$  результаты расчетов должны быть близки данным для несжимаемой жидкости [13]. Следовательно, значения  $C_x$ , полученные путем расчетов, можно сравнивать со стандартной зависимостью коэффициента сопротивления сферы несжимаемой жидкости от числа Рейнольдса, аппроксимируемой по формуле [14]

$$C_x = 24(1 + 0,25\sqrt{\text{Re}} + 0,0117 \text{Re}) / \text{Re}, \quad 1 \leq \text{Re} \leq 1000. \quad (8)$$

В табл. 1 представлена зависимость коэффициента сопротивления сферы от количества расчетных узлов  $N_p$  и порядка точности разностной схемы по пространственным переменным  $N_c$  при  $\text{Re} = 100$ . Из табл. 1 следует, что при расчете по разностной схеме шестого порядка точности значение  $C_x$ , полученное на наиболее грубой сетке, при дальнейшем увеличении числа узлов практически не меняется (изменения в третьем знаке после

Таблица 1

Зависимость коэффициента  
сопротивления сферы  
от количества расчетных узлов  
и порядка точности разностной схемы  
при  $Re = 100$

$N_p$	$C_x$		
	$N_c = 2$	$N_c = 4$	$N_c = 6$
$6 \times 30 \times 13 \times 13$	1,502	1,130	1,099
$6 \times 40 \times 17 \times 17$	1,320	1,114	1,098
$6 \times 50 \times 23 \times 23$	1,246	1,096	1,092

Таблица 2

Зависимость коэффициента  
сопротивления сферы  
от числа Рейнольдса  
при  $N_p = 6 \times 30 \times 13 \times 13$   
и шестом порядке точности

Re	$C_x$	$C_x^t$
50	1,582	1,609
100	1,099	1,121
250	0,723	0,756
500	0,601	0,597
1000	0,536	0,495

запятой обусловлены, скорее всего, погрешностями вычисления коэффициента сопротивления), т. е. для определения коэффициента сопротивления сферы в расчетах по схеме шестого порядка достаточно использовать наиболее грубую разностную сетку. В табл. 2 приведены результаты расчетов коэффициента сопротивления при различных значениях числа Рейнольдса на сетке  $6 \times 30 \times 13 \times 13$  по схеме шестого порядка точности. Видно, что значения коэффициента сопротивления  $C_x$ , полученные в расчетах, хорошо согласуются со значениями коэффициента сопротивления  $C_x^t$ , полученными по аппроксимационной зависимости (8).

При  $Re = 50, 100, 250$  были измерены длина отрывной зоны за сферой (0,4, 0,8, 1,1 соответственно) и угол отрыва потока ( $41^\circ, 52^\circ, 65^\circ$  соответственно). Полученные результаты согласуются с данными работы [14].

Далее сфера помещалась в объем с одним входом и двумя выходами (длина, высота и ширина объема равны 3, радиус входа и выходов, длина входа и радиус сферы равны 0,5). В расчетах рассматривались три возможных варианта положения сферы: 1) сфера находится в центре канала; 2) сфера опускается на расстояние от центра канала, равное одному радиусу; 3) сфера касается нижней плоскости канала.

В варианте 1 длина выходов принималась равной 0,5, в остальных вариантах — 0,2. Расчеты проводились при  $Re = 100, 500$  и  $M = 0,6$ . При  $Re = 100$  проведено исследование сходимости решения в зависимости от количества расчетных узлов разностной сетки и порядка точности разностной схемы в варианте 1. Рассматривались схемы второго, четвертого и шестого порядков точности на сетках с количеством узлов  $N_p = 49\,338$  и  $N_p = 378\,918$ . Расчеты показали, что для получения сходящегося решения достаточно использовать разностную схему четвертого порядка точности на наиболее грубой сетке. В табл. 3 приведены значения некоторых параметров течения, вычисленные по схеме четвертого порядка точности ( $\omega_{\max}$  — максимум модуля завихренности;  $\alpha_u, \alpha_p$  — угол отрыва потока от сферы и угол, соответствующий минимальному давлению на сфере, отсчитываемые от задней критической точки сферы;  $m_1, m_2$  — массовые расходы на входе и выходе). Согласно табл. 3  $\alpha_p > \alpha_u$ , что соответствует теории пограничного слоя [7]. На крупной сетке разность значений  $m_1, m_2$  составляет 4 %, на мелкой — 1,7 % по отношению к наименьшей из величин  $m_1, m_2$ .

Согласно закону сохранения массы для стационарного течения в отсутствие источников и стоков должно выполняться условие  $m_1 = m_2$ . В данном случае погрешность выполнения закона сохранения массы обусловлена погрешностью численного интегрирования при вычислении массового расхода, погрешностью интерполяции (значения гидромеханических переменных передаются из одного конечного объема в другой с помощью полиномиальной интерполяции, которая реализовывалась без учета законов сохранения),

Таблица 3

Некоторые характеристики течения для варианта 1 при  $Re = 100$ 

$N_p$	$C_x$	$\omega_{\max}$	$\alpha_u$ , град	$\alpha_p$ , град	$m_1$	$m_2$
49 338	1,165	14,588	65,74	113,20	1,132	1,177
378 918	1,170	14,670	66,14	113,63	1,118	1,099

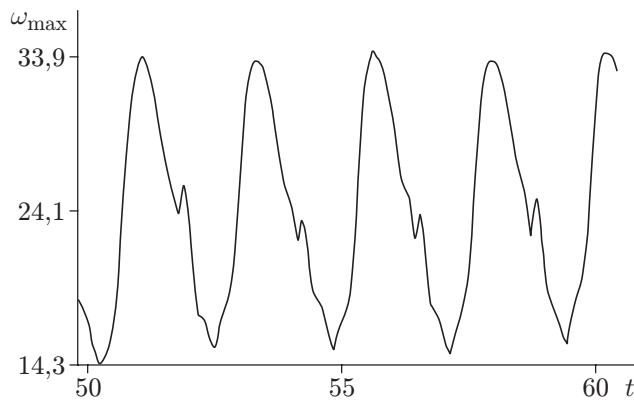


Рис. 3

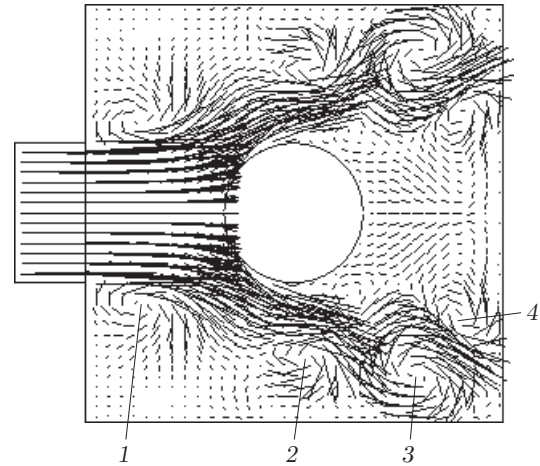


Рис. 4

Рис. 3. Зависимость максимума модуля завихренности от времени при  $Re = 500$  для варианта 1

Рис. 4. Поле скоростей в сечении  $XZ$  при  $Y = 1,5$  для варианта 1:  
1–4 — вихри (1 — образующийся вихрь, 2 — вихрь, движущийся вдоль струи газа, 3 — стационарный вихрь, 4 — малые периодически возникающие вихри)

погрешностью разностной схемы (разностная схема построена на основе системы уравнений гидромеханики в симметричной форме и, следовательно, не является консервативной, т. е. реализует интегральные законы сохранения с некоторой ошибкой).

Из сказанного выше можно сделать вывод, что представленный расчетный метод позволяет получить результаты, хорошо согласующиеся как с теорией, так и с экспериментом.

При  $Re = 100$  во всех случаях получается стационарное решение. Газ втекает в объем в виде четко выраженной струи, сохраняющей свою форму до столкновения со сферой. Далее в вариантах 1 и 2 эта струя при обтекании сферы принимает форму купола, края которого направлены к выходам. В варианте 3 струя лишь касается сферы и без существенных изменений продолжает двигаться к выходам, незначительно смещаясь к верхней стенке. Слева и справа от струи газа, входящей в объем, а также за сферой образуются крупные вихри.

При  $Re = 500$  течение несколько усложняется, становясь нестационарным, периодическим (рис. 3). На рис. 4 приведены результаты расчетов при  $Re = 500$  для варианта 1 в сечении  $XZ$  ( $Y = 1,5$ ). Как и при  $Re = 100$ , в этом случае газ входит в расчетную область в виде струи, движется по направлению к сфере, сталкивается с ней и приобретает куполообразную форму. Через определенные промежутки времени в рассматриваемом сечении  $XZ$  ( $Y = 1,5$ ) по обе стороны входящего потока газа образуются небольшие вихри (вихрь 1), которые затем переносятся потоком газа от передней стенки рассматриваемого объема к задней и объединяются с находящимся там стационарным вихрем 3. С каждой

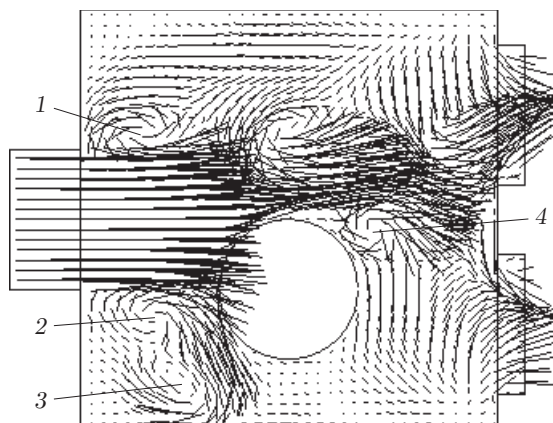


Рис. 5

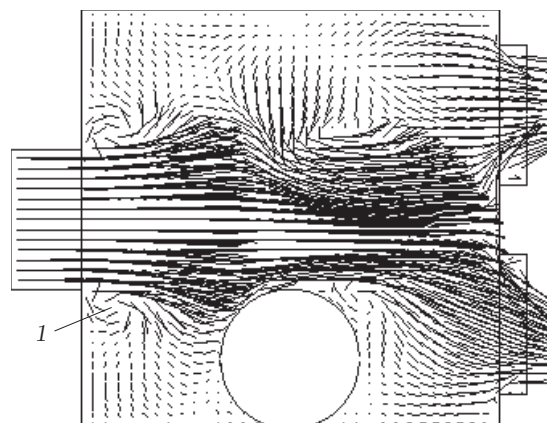


Рис. 6

Рис. 5. Поле скоростей в сечении  $XY$  при  $Z = 1,5$  для варианта 2:

1-4 — вихри (1, 2, 4 — малые периодически возникающие вихри, 3 — стационарный вихрь)

Рис. 6. Поле скоростей в сечении  $XY$  при  $Z = 1,5$  для варианта 3:

1 — нижний вихрь

стороны струи может одновременно находиться до трех вихрей (вихри 1-3). Данная вихревая система заменяет большие вихри, занимавшие все пространство между передней и задней гранями объема при  $Re = 100$ . Как и при  $Re = 100$ , между сферой и задней гранью рассматриваемой области расположена отрывная зона, однако в данном случае она имеет более сложное строение: по краям ее задней части располагаются два малых вихря (вихрь 4).

На рис. 5 представлено поле скоростей в сечении  $XY$  ( $Z = 1,5$ ) для варианта 2 при  $Re = 500$ . Достигая сферы, набегающий поток делится на две части: верхнюю и нижнюю. Верхняя половина потока движется далее по направлению к выходам, а нижняя половина струи газа резко меняет направление и начинает двигаться к нижней стенке. По обе стороны от входящей в объем струи периодически образуются небольшие вихри 1, 2. Далее верхний вихрь движется вдоль струи газа к выходам, а нижний вихрь — к нижней стенке, где объединяется с расположенным там стационарным вихрем 3. В задней части сферы в месте отрыва набегающей струи газа также происходит периодическое образование вихрей (вихрь 4), которые отрываются от сферы и сносятся потоком газа к выходам.

На рис. 6 приведены поля скоростей в сечении  $XY$  ( $Z = 1,5$ ) для варианта 3 (сфера касается нижней плоскости) при  $Re = 500$ . В этом случае течение во многом аналогично течению в варианте 2, однако при достижении сферы нижний вихрь 1 разрушается.

**8. Выводы.** Рассмотрен вариант метода конечных объемов, исследована возможность его использования применительно к задаче моделирования течения вязкого газа в объеме с перфорированными стенками, содержащем сферу.

Полученные результаты расчетов согласуются как с экспериментальными, так и с теоретическими данными.

Изучено течение вязкого газа в объеме с перфорированными стенками, в котором расположена одна сфера, при  $Re = 100, 500$  и  $M = 0,6$ . Для каждого варианта положения сферы приведены поля скоростей, проанализирован характер течения и образования вихрей.



## ЛИТЕРАТУРА

1. **Басниев К. С.** Нефтегазовая гидромеханика / К. С. Басниев, Н. М. Дмитриев, Г. Д. Розенберг. М.: Ижевск: Ин-т компьютер. исслед., 2005.
2. **Липанов А. М.** Метод численного решения уравнений гидромеханики в многосвязных областях (первое сообщение) // Мат. моделирование. 2006. Т. 18, № 12. С. 3–18.
3. **Лойцянский Л. Г.** Механика жидкости и газа. М.: Наука, 1987.
4. **Беклемишев Д. В.** Курс аналитической геометрии и линейной алгебры. М.: Физматлит, 2000.
5. **Лаврентьев М. А.** Методы теории функций комплексного переменного / М. А. Лаврентьев, Б. В. Шабат. СПб.: Изд-во “Лань”, 2002.
6. **Камке Э.** Справочник по дифференциальным уравнениям в частных производных первого порядка. М.: Наука, 1966.
7. **Седов Л. И.** Механика сплошной среды. СПб.: Изд-во “Лань”, 2004. Т. 1, 2.
8. **Самарский А. А.** Численные методы решения задач конвекции-диффузии / А. А. Самарский, П. Н. Вабишевич. М.: Едиториал УРСС, 2004.
9. **Липанов А. М.** Численный эксперимент в классической гидромеханике турбулентных потоков / А. М. Липанов, Ю. Ф. Кисаров, И. Г. Ключников. Екатеринбург: Изд-во УрО РАН, 2001.
10. **Федорченко А. Т.** Численное исследование нестационарных дозвуковых течений вязкого газа во внезапно расширяющемся плоском канале // Изв. АН СССР. Механика жидкости и газа. 1988. № 4. С. 32–41.
11. **Вержбицкий В. М.** Основы численных методов. М.: Высш. шк., 2002.
12. **Липанов А. М., Кисаров Ю. Ф., Ключников И. Г.** Класс разностных схем высокого порядка точности для прямого моделирования турбулентных потоков при числах Рейнольдса  $Re = 10^5$  // Применение математического моделирования для решения задач в науке и технике: Сб. тр. науч. конф. Ижевск: Ин-т прикл. механики УрО РАН, 1996. С. 81–102.
13. **Шлихтинг Г.** Теория пограничного слоя. М.: Наука, 1974.
14. **Горохов М. М.** Математическое моделирование обтекания и горения гранул твердого топлива в турбулентных потоках: Дис. ... д-ра физ.-мат. наук. Ижевск, 2005.

*Поступила в редакцию 13/II 2008 г.,  
в окончательном варианте — 18/XI 2009 г.*

---